

Fig. 3c_IL-1β p17 (Sup)

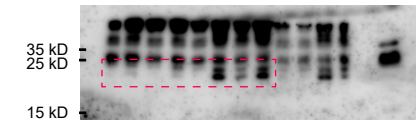


Fig. 3c_CASP1 p20 (Sup)

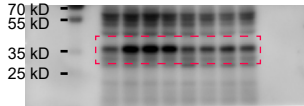


Fig. 3c_IL-1β p31 (Lys)

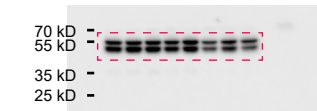


Fig. 3c_CASP1 p45 (Lys)



Fig. 3c_VAPA (Lys)



Fig. 3c_VAPB (Lys)



Fig. 3c_Tubulin (Lys)



Fig. 3d_IL-1β p17 (Sup)

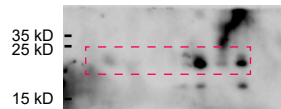


Fig. 3d_CASP1 p20 (Sup)

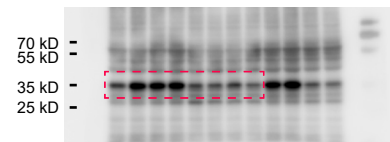


Fig. 3d_IL-1β p31 (Lys)



Fig. 3d_CASP1 p45 (Lys)

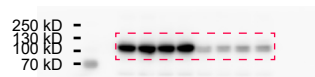


Fig. 3d_OSBP (Lys)



Fig. 3d_Tubulin (Lys)

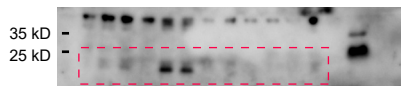


Fig. 3e_CASP1 p20 (Sup)

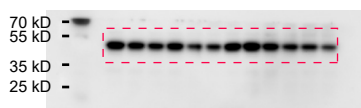


Fig. 3e_CASP1 p45 (Lys)

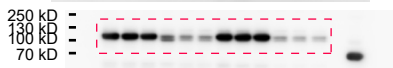


Fig. 3e_OSBP (Lys)

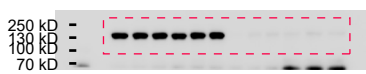


Fig. 3e_NLRP3 (Lys)



Fig. 3e_Tubulin (Lys)

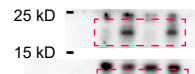


Fig. 3f_IL-1β p17 (Sup)

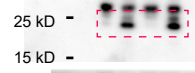


Fig. 3f_CASP1 p20 (Sup)

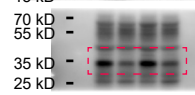


Fig. 3f_IL-1β p31 (Lys)

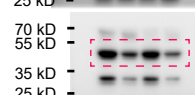


Fig. 3f_CASP1 p45 (Lys)



Fig. 3f_VAPA (Lys)



Fig. 3f_VAPB (Lys)



Fig. 3f_Tubulin (Lys)